

Моделирование вертикальной структуры аккреционных дисков вокруг нейтронных звёзд и чёрных дыр

А. Тавлеев, Г. Липунова, К. Маланчев

Государственный Астрономический Институт имени П.К. Штернберга МГУ,
Университетский пр. 13, Москва, 119234, Россия
tavleev.as15@physics.msu.ru



Мы представляем результаты нового кода, моделирующего вертикальную структуру аккреционных дисков. Код позволяет использовать разные уравнения состояния, модели непрозрачности и механизмы переноса энергии.

Введение

Рентгеновские двойные — одни из самых ярких объектов в рентгене. Вспышки в таких системах связаны с неустойчивостью в аккреционном диске вокруг компактного объекта (нейтронной звезды или чёрной дыры). Для моделирования вспышек необходимо решить уравнение нестационарной дисковой акреции [1]. Его решение можно получить, исследуя устойчивость диска посредством анализа так называемых S-кривых — зависимостей потока излучения от поверхностной плотности.

Для построения S-кривых необходимо получить зависимости между физическими параметрами (например, давление и поток лучистой энергии) в диске. Эти зависимости находятся из решения уравнений вертикальной структуры диска.

Модель вертикальной структуры

Уравнения вертикальной структуры [2]:

$$\frac{1}{\rho} \frac{dP}{dz} = -\omega_K^2 z, \quad (1)$$

$$\frac{d\Sigma}{dz} = -2\rho, \quad (2)$$

$$\frac{d \ln T}{d \ln P} \equiv \nabla = \begin{cases} \nabla_{\text{rad}}, \nabla_{\text{rad}} < \nabla_{\text{ad}}, \\ \nabla_{\text{conv}}, \nabla_{\text{rad}} > \nabla_{\text{ad}}, \end{cases} \quad (3)$$

$$\frac{dQ}{dz} = \frac{3}{2} \omega_K w_{r\varphi}, \quad (4)$$

$$z \in [0, z_0].$$

Здесь уравнение (1) — это уравнение гидростатического равновесия с давлением P , плотностью ρ , Кеплеровской угловой скоростью $\omega_K^2 = GM/r^3$; уравнение (2) — фактически определение поверхностной плотности Σ как функции z ; уравнение (4) — уравнение вязкого нагрева. Уравнение (3) определяет градиент температуры. В случае переноса тепла излучением градиент лучистый:

$$\nabla_{\text{rad}} = \frac{3\varkappa}{4ac\omega_K^2 z} \frac{P}{T^4} Q, \quad (5)$$

где \varkappa — Росселандова непрозрачность, Q — поток излучения, a — постоянная излучения. В случае сверхадиабатического градиента в диске развивается конвекция, и градиент рассчитывается в рамках теории пути перемешивания.

Вертикальная координата z меняется от нуля в плоскости симметрии до z_0 , полутолщины диска.

Систему нужно дополнить уравнением состояния, моделью непрозрачности и выражением для компоненты тензора вязкости:

$$\rho = \rho(P, T), \quad \varkappa = \varkappa(\rho, T), \quad w_{r\varphi} = \alpha P.$$

Здесь мы используем α -модель Шакуры–Сюняева для вязкости [3], α — это турбулентный параметр.

Код может использовать как аналитические выражения для уравнения состояния и закона непрозрачности, так и табличные значения. В частности, мы используем программный пакет MESA [4] для интерполяции табличных значений.

Система дополнена граничными условиями:

$$\begin{aligned} \Sigma(z_0) &= 0, \\ Q(z_0) &= Q_0 = \frac{3}{8\pi} \frac{GMM}{r^3} \left(1 - \frac{r_{\text{in}}}{r}\right) = \sigma_{\text{SB}} T_{\text{eff}}^4, \\ T(z_0) &= T_{\text{eff}}, \\ P(z_0) &= P_0. \end{aligned}$$

где T_{eff} , \dot{M} , r_{in} — эффективная температура, темп акреции и внутренний радиус диска соответственно.

Код, написанный на Python 3, разработан для численного решения системы (1–4). Входные параметры: масса центрального тела M , радиус r , момент вязких сил $F = \dot{M}h = \dot{M}\sqrt{GM}r$ (или эффективная температура T_{eff} , или темп акреции \dot{M}) на этом радиусе, тип непрозрачности и уравнения состояния, турбулентный параметр α . Программа интегрирует уравнения вертикальной структуры и решает оптимизационную задачу — находит значение свободного параметра z_0 ,

для которого выполняется дополнительное условие в плоскости симметрии диска:

$$Q(0) = 0.$$

Результаты

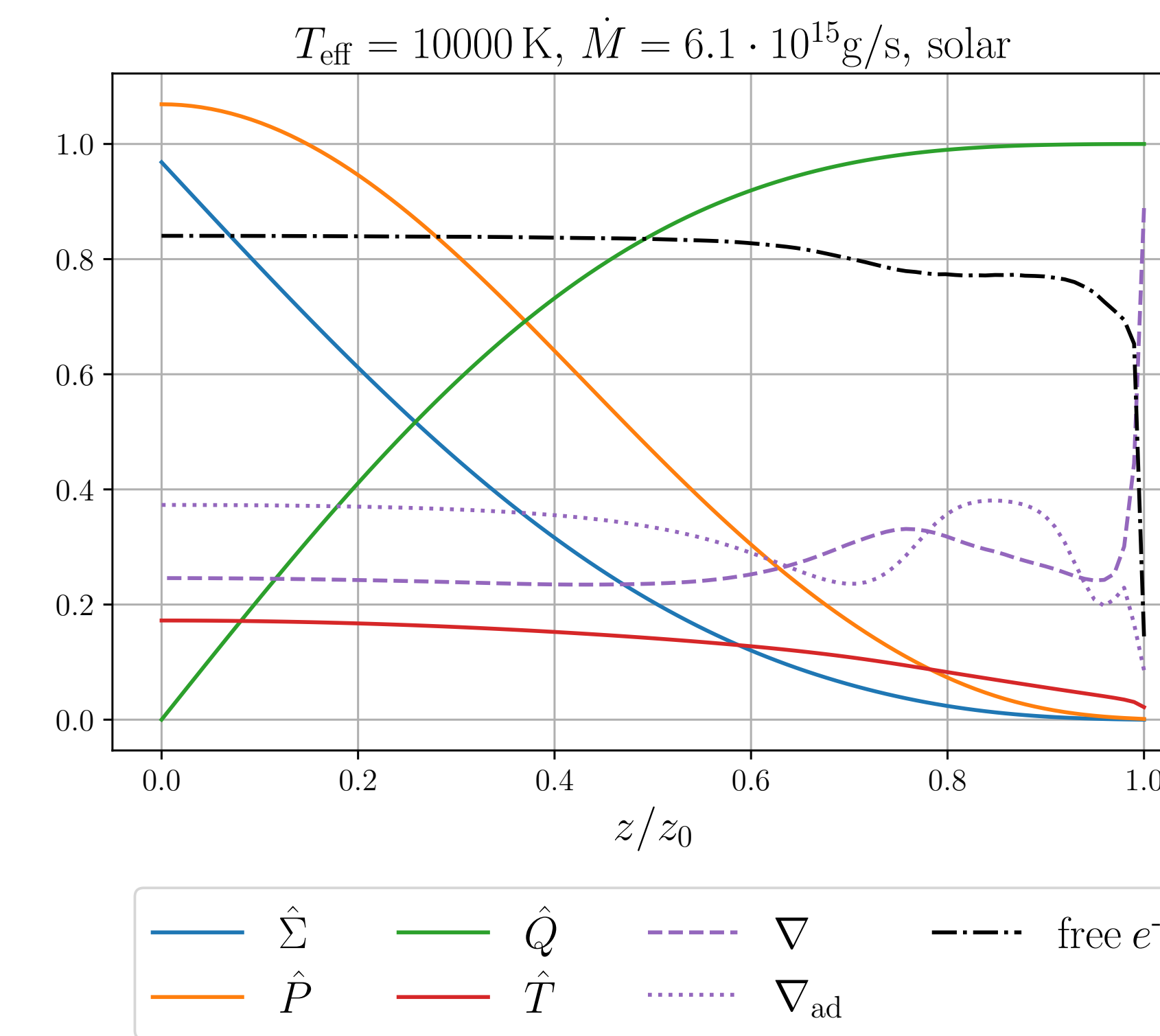


Рис. 1: Вычисленная вертикальная структура при $r = 10^{10}$ см, $\alpha = 0,01$, $M = 6M_\odot$, $T_{\text{eff}} = 10^4$ K. На рисунке также показаны градиент температуры в сравнении с аддиабатическим градиентом, а также параметр ионизации. Остальные величины нормированы на свои характерные значения.

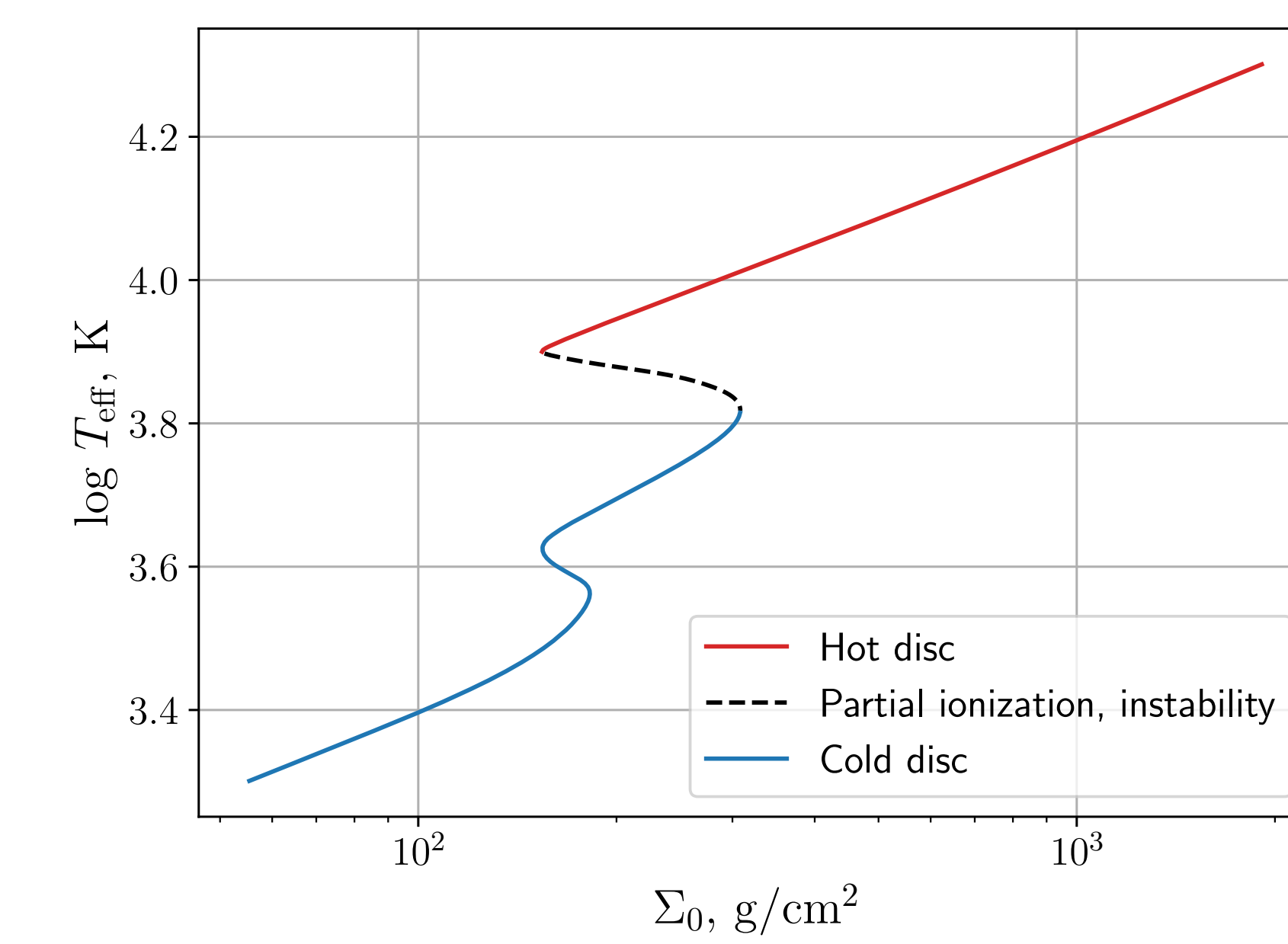


Рис. 2: Сверху — S-кривая, полученная для $r = 10^{10}$ см, $\alpha = 0,01$, $M = 6M_\odot$ и табличных непрозрачностей солнечным химсоставом. Снизу — коэффициент непрозрачности как функция температуры для тех же параметров на разной глубине. Также нарисована зависимость параметра ионизации от температуры в плоскости симметрии диска.

На Рис. 1 показан пример вертикальной структуры, рассчитанной нашим кодом. Эта структура была получена при $r = 10^{10}$ см, $\alpha = 0,01$, $M = 6M_\odot$, $T_{\text{eff}} = 10^4$ K, использовались непрозрачности из MESA с солнечным химсоставом. Видно, что из-за ионизации водорода (параметр ионизации больше нуля) в диске присутствуют конвективные области (в которых $\nabla > \nabla_{\text{ad}}$). Конвекция не влияет на сам факт неустойчивости, но изменяет вид S-кривой.

На Рис. 2 представлена S-кривая, полученная для $r = 10^{10}$ см, $\alpha = 0,01$, $M = 6M_\odot$ в сравнении с коэффициентом

непрозрачности на разных глубинах (при $z/z_0 = 0, 0.5, 1$) и параметром ионизации в диске. Разным стилем отмечены область холодного диска, область частичной ионизации (в которой имеет место неустойчивость) и область горячего диска. Видно, что ионизация вещества в центре диска стартует при температуре $T_c \approx 10^4$ K. Когда ионизация достигает ~ 0.4 , начинается неустойчивость. Она заканчивается, когда диск почти полностью ионизован (ионизация в центре ~ 0.81).

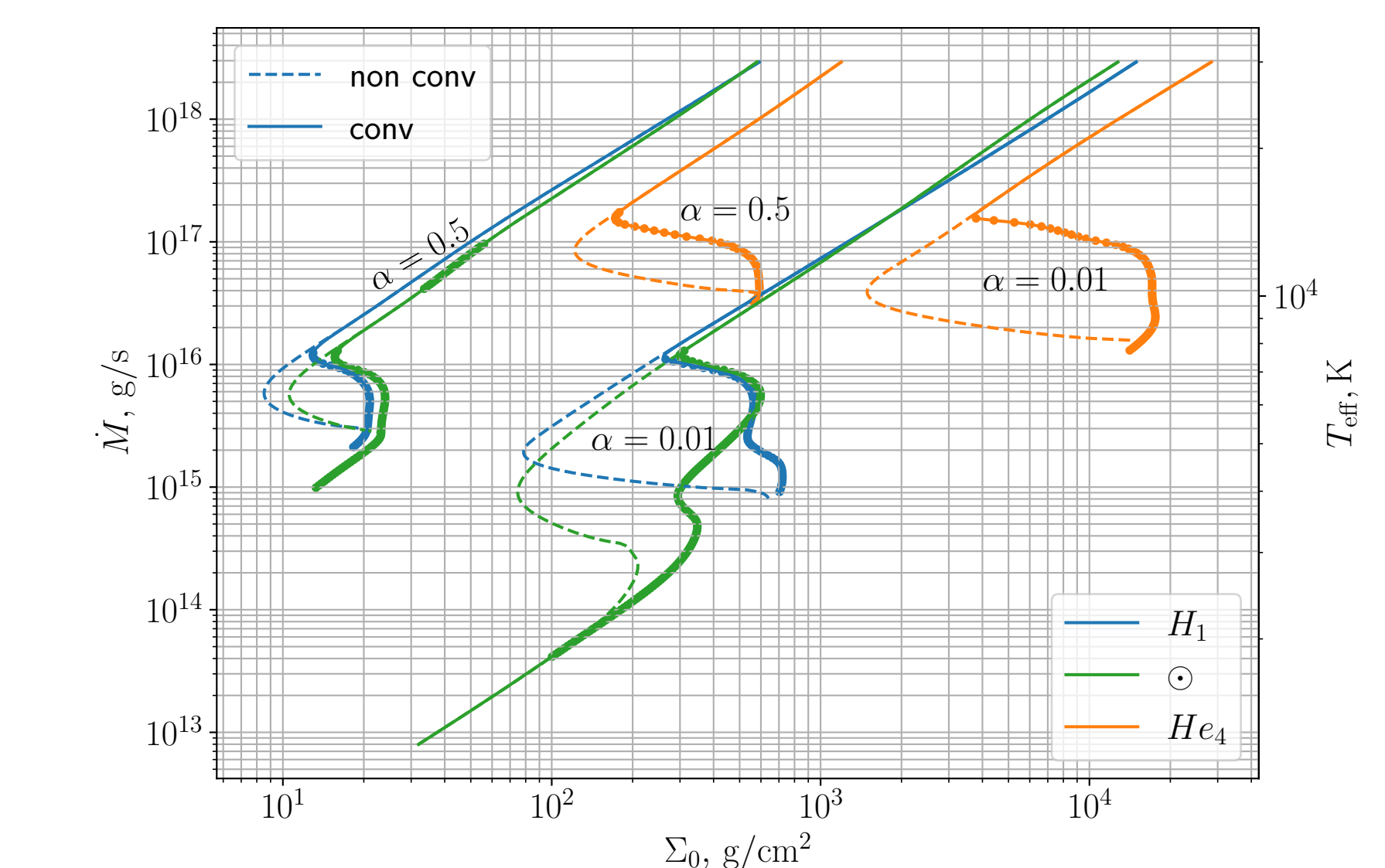


Рис. 3: S-кривые для разного химсостава, α , с учётом и без учёта конвекции. Всё посчитано для $M = M_\odot$ и $r = 10^{10}$ см. Жирные точечные участки — зоны, где диск конвективен (условие $\nabla_{\text{rad}} > \nabla_{\text{ad}}$ выполняется на интервале высот, составляющем более 50% от z).

Влияние химсостава, параметра турбулентности α и конвекции в диске можно проследить на Рис. 3, на котором показаны S-кривые для разного химсостава и параметра α . Также показаны кривые с учётом и без учёта конвекции. Точки на рисунке выделены областями, где конвекция в диске доминирует (условие существования конвекции $\nabla_{\text{rad}} > \nabla_{\text{ad}}$ выполняется на интервале высот, составляющем более 50% от z). Видно, что диск конвективен в неустойчивой области.

При учёте конвекции неустойчивость наступает при больших темпах акреции. При больших α участки с конвекцией «оттягиваются» в сторону больших Σ , образуется почти вертикальный участок. При малых α конвективный участок разбивается на две нестабильные ветви. При этом верхняя неустойчивая ветвь связана с пиком в непрозрачности, на ней водород частично ионизован. Нижняя ветвь связана с конвекцией [5]. При больших α нижняя неустойчивая ветвь не появляется, так как температура не достигает таких низких значений, при которых начинается образование молекул. На гелиевой кривой и при больших, и при малых α не появляется второй нестабильный участок, лишь деформируется основной участок.

Заключение

- Разработан современный гибкий код для расчёта вертикальной структуры аккреционного диска (код доступен по ссылке <https://github.com/Andrey890/Vertical-structure-of-accretion-disks>);
- Используются разные уравнения состояния и модели непрозрачности, в том числе табличные значения, присутствует возможность менять химический состав вещества диска. Для получения табличных непрозрачностей с разным химсоставом разработан и включен в код интерфейс взаимодействия с кодом MESA;

Благодарности

Работа поддержана грантом РНФ 21-12-00141.

Список литературы

- [1] J.-M. Hameury, K. Menou, G. Dubus, J.-P. Lasota, and J.-M. Huré. MNRAS, 298:1048–1060, August 1998. 1
- [2] N. I. Shakura, G. V. Lipunova, K. L. Malanichev, V. V. Zhuravlev, D. N. Razdoburdin, P. K. Abolmasov, A. Chashkina, K. A. Postnov, A. Yu Kochetkova, and L. Hjalmarsdotter. *Accretion flows in astrophysics*. New York, New York, 2018. 1
- [3] N. I. Shakura and R. A. Sunyaev. A&A, 24:337–355, 1973. 1
- [4] B. Paxton, P. Marchant, J. Schwab, E. B. Bauer, L. Bildsten, M. Cantiello, L. Dessart, R. Farmer, H. Hu, N. Langer, R. H. D. Townsend, D. M. Townsley, and F. X. Timmes. ApJS, 220:15, September 2015. 1
- [5] John K. Cannizzo. Accretion Disks in Active Galactic Nuclei: Vertically Explicit Models. ApJ, 385:94, January 1992. 1